

ІЗМЕРЕНИЕ ПРОДУКТОВ ФОТОДЕЛЕНИЯ  $^{232}\text{Th}$ 

**О. А. Бесшайко<sup>1</sup>, В. А. Желтоножский, И. Н. Каденко<sup>1</sup>, А. А. Левченко,  
И. Б. Михницкий<sup>1</sup>, Л. В. Садовников, Н. В. Стрильчук**

<sup>1</sup> Київський національний університет імені Тараса Шевченка

Проведено измерения относительных выходов активностей фрагментов фотоделения  $^{232}\text{Th}$   $\gamma$ -квантами с граничной энергией 22 МэВ. В результате проведенных экспериментов в спектрах надежно выявлены активности изомерных пар  $^{117\text{m},\text{g}}\text{In}$ ,  $^{135\text{m},\text{g}}\text{Xe}$  и подпитывающих их радионуклидов. Проведенные исследования впервые позволили измерить величины  $\sigma_m/\sigma_g$  для этих фрагментов, которые оказались равными для  $^{117}\text{In}$   $\sigma_m/\sigma_g = 1,3 \pm 0,4$  и для  $^{135}\text{Xe}$   $\sigma_m/\sigma_g = 0,66 \pm 0,09$ . Определены средние угловые моменты для  $^{117}\text{In}$  и  $^{135}\text{Xe}$ , равные  $\bar{J} = 7,5$  и 4,5 соответственно.

### 1. Введение

Эксперименты по изучению активностей первичных фрагментов деления являются важным источником информации при исследовании свойств нейтроноизбыточных ядер и изучении динамики ядерного деления [1 - 8]. Данные об изомерных отношениях ( $\sigma_m/\sigma_g$ ), где  $\sigma_m$  – сечение образования высокоспиновых долгоживущих состояний, а  $\sigma_g$  – низкоспиновых, в ядрах продуктов деления содержат информацию о распределении углового момента в фрагментах деления, а следовательно, об изменении свойств делящихся ядер при переходе от седловой точки к точке разрыва. А именно такая информация позволяет выбрать наиболее адекватные модели, описывающие симметричный и асимметричный каналы деления.

Целью данной работы было определение средних угловых моментов ( $\bar{J}$ ) осколков, образованных в результате деления  $^{232}\text{Th}$  тормозными  $\gamma$ -квантами с граничной энергией 22 МэВ, с использованием метода изомерных отношений.

### 2. Методика и обработка эксперимента

Облучение мишеней  $^{232}\text{Th}$  проводилось на линейном ускорителе с энергией электронов 22 МэВ. Тормозной спектр  $\gamma$ -лучей формировался на подложках из золота. Измерение  $\gamma$ -спектров проводилось непосредственно после облучения. Использовались германиевые детекторы объемом 250 см<sup>3</sup> с разрешением 2,0 кэВ на  $\gamma$ -линиях  $^{60}\text{Co}$ . Сохранение спектров в памяти компьютера производилось через интервалы времени, равные периодам полураспада изучаемых изотопов (3 × 15'; 2 × 30'; 6 × 1h). Характерный  $\gamma$ -спектр продуктов распада приведен на рис. 1. Данный спектр был получен при облучении мишени тория в течение 20 и 30 мин выдержки, для того чтобы избавиться от активностей с периодом полураспада меньше 5 мин.

Экспериментальные значения изомерных отношений вычислялись с учетом вклада от  $\beta$ -распада изобарных ядер в выходы исследуемых изотопов. Например, для цепочки  $^{117\text{m},\text{g}}\text{Cd} \rightarrow ^{117\text{m},\text{g}}\text{In}$  (рис. 2) система дифференциальных уравнений распада имеет вид

$$\frac{\partial N_{g1}}{\partial t} = KF(t)\sigma_{g1} - \lambda_{g1}N_{g1} + p_{m1g1}\lambda_{m1}N_{m1} + p_{m2g1}\lambda_{m2}N_{m2}; \quad (1)$$

$$\frac{\partial N_{m1}}{\partial t} = KF(t)\sigma_{g1} - \lambda_{m1}N_{m1} + p_{g2m1}\lambda_{g2}N_{g2}; \quad (2)$$

$$\frac{\partial N_{g2}}{\partial t} = KF(t)\sigma_{g2} - \lambda_{g2}N_{g2}; \quad (3)$$

$$\frac{\partial N_{m2}}{\partial t} = KF(t)\sigma_{m2} - \lambda_{m2}N_{m2}, \quad (4)$$

где  $K$  – количество ядер делящегося вещества;  $F(t)$  – поток налетающих частиц;  $N_{g1}, N_{m1}, N_{g2}, N_{m2}$  – активности,  $\lambda_{g1}, \lambda_{m1}, \lambda_{g2}, \lambda_{m2}$  – постоянные распада;  $\sigma_{g1}, \sigma_{m1}, \sigma_{g2}, \sigma_{m2}$  – сечения заселения основных и изомерных состояний  $^{117}\text{In}$  и  $^{117}\text{Cd}$  соответственно;  $p_{m1g1}$  – доля распада изомерного состояния  $^{117\text{m}}\text{In}$  в основное  $^{117\text{g}}\text{In}$ ;  $p_{g2m1}$  – доля распада основного состояния  $^{117\text{g}}\text{Cd}$  в изомер  $^{117\text{m}}\text{In}$ ;  $p_{m2g1}$  – доля распада изомерного состояния  $^{117\text{m}}\text{Cd}$  в основное  $^{117\text{g}}\text{In}$ .

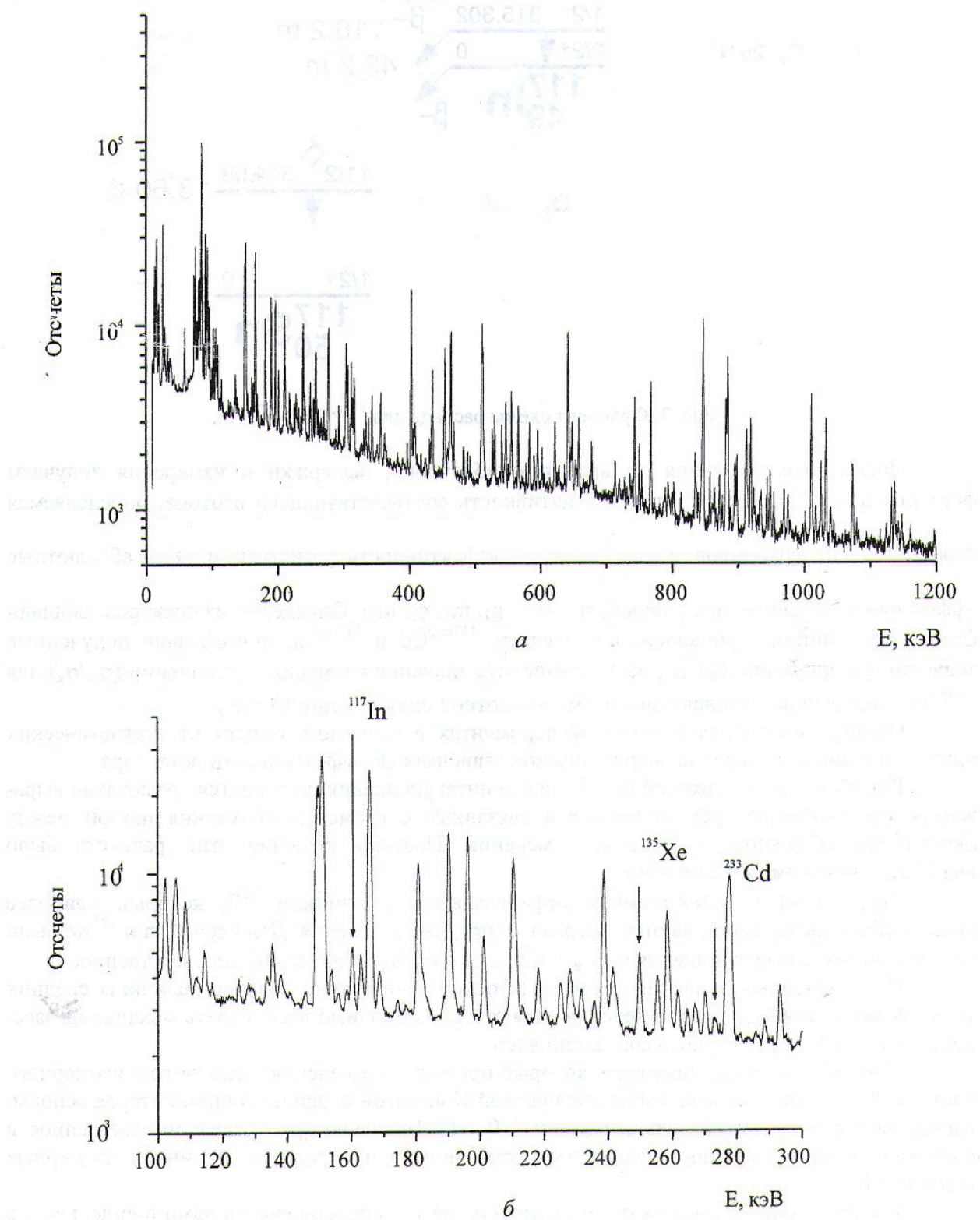
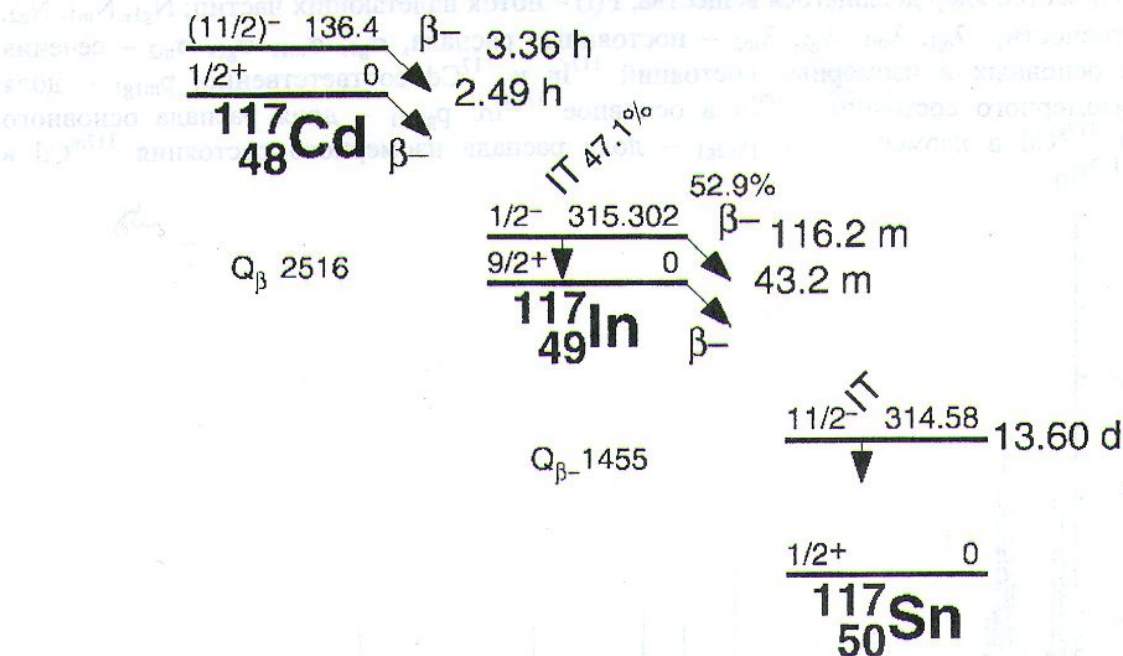


Рис. 1. Спектр  $\gamma$ -излучений продуктов распада  $^{232}\text{Th}$ . Время измерения – 7 час:  
*а* – весь спектр; *б* – фрагмент спектра от 100 до 300 кэВ.

Рис. 2. Фрагмент схемы распада для  $^{117m,g}\text{Cd} \rightarrow ^{117m,g}\text{In}$ .

После интегрирования по временам облучения, выдержки и измерения получаем формулы для  $A_i = KF(t)\sigma_i$ , где  $A_i$  - активность соответствующего изотопа, определяемая через площади фотопиков  $S_i = \frac{N_i}{e_i f_i}$  ( $e_i$  - эффективность регистрации,  $f_i$  - абсолютные эффективности выбранных  $\gamma$ -переходов,  $i = g_1, m_1, g_2, m_2$ ). Определив из спектров площади фотопиков  $\gamma$ -линий, принадлежащих распаду  $^{117m,g}\text{Cd}$  и  $^{117m,g}\text{In}$ , и подставив полученные значения в выражения для  $A_i$ , легко вычислить значения изомерных отношений ( $\sigma_m/\sigma_g$ ) для  $^{117m,g}\text{In}$ . Аналогично определялись изомерные отношения для других ядер.

Ошибки измерения в таких экспериментах в основном зависят от статистических ошибок и ошибок измерения энергетической зависимости эффективности детектора.

Как видно из выражений (1 - 4), после интегрирования получаются громоздкие выражения, состоящие из трёх экспонент и связанные с временем облучения паузой между окончанием облучения и началом измерения. Поэтому решение этих равенств было выполнено программным способом.

Эффективность спектрометра определялась по  $\gamma$ -линиям  $^{134}\text{I}$ , который наиболее сильно образовывался при данных энергиях в продуктах деления. Для ядер  $^{117}\text{In}$  и  $^{135}\text{Xe}$  были получены изомерные отношения  $\sigma_m/\sigma_g = 1.3 \pm 0.4$  и  $\sigma_m/\sigma_g = 0.66 \pm 0.09$  соответственно.

Из полученных значений изомерных отношений можно извлечь величины средних угловых моментов фрагментов деления. Для этого необходимо рассмотреть механизмы заселения основного и изомерного состояний ядер.

Процесс девозбуждения ядра, который приводит к заселению основного и изомерного состояний, описывается моделью, предложенной Хоизенгой и Ванденбошем, которая основывается на статистической модели распада [10, 11]. Начальное распределение заселенности состояний является входным параметром этой модели и определяет величину изомерных отношений.

Распределение вероятности заселения состояний представлялось нами в виде, как и в [8]

$$P(E^*, J, \pi) = 2\rho(E^*, J, \pi)\exp(-\beta E^* - \lambda J),$$

где  $\rho$  - плотность уровней;  $E^*$  и  $J$  – энергия возбуждения и угловой момент ядра в единицах  $\hbar$ ,  $\beta$  и  $\lambda$ -параметров. Для расчета распределения вероятностей эмиссии нейтронов и  $\gamma$ -распада фрагментов, приводящих к заселению основного или изомерного состояний ядра-продукта, использовалась программа STAPRE [12]. Для вычисления изомерных отношений брались рассчитанные средние значения числа испущенных нейтронов для каждого значения массового числа фрагмента, взятые из [13]. Параметры  $\beta$  и  $\lambda$  выбирались таким образом, чтобы воспроизвести экспериментальные значения изомерного отношения. Средние угловые моменты фрагментов деления связаны с распределением вероятности заселения состояний соотношением

$$\bar{J} = \frac{\sum_J JP(J)}{\sum_J P(J)}. \quad (6)$$

Зная параметры вероятности заселения состояний, которые были фиксированы при расчете величины изомерного отношения, и используя (6), были определены  $\bar{J}$ . Величины  $\bar{J}$ , извлеченные из экспериментальных значений изомерных отношений для  $^{117}\text{In}$  и  $^{135}\text{Xe}$ , оказались равными 7,5 и 4,5 соответственно. Величины  $\bar{J}$  определены с точностью  $\pm (0,5 \div 1)\hbar$ .

### 3. Выводы

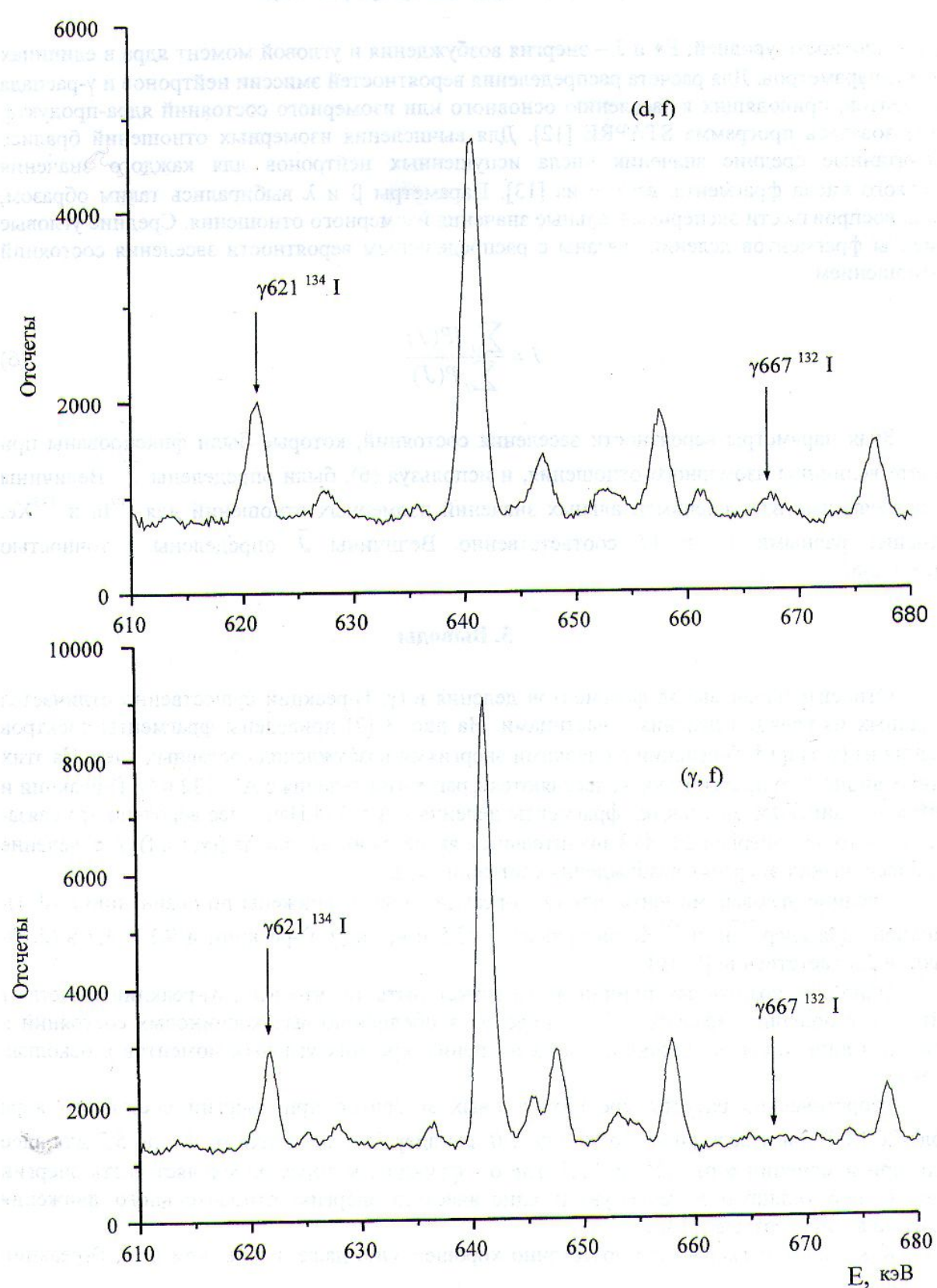
Относительный выход фрагментов деления в  $(\gamma, f)$ -реакции существенно отличается от данных из реакции деления с частицами. На рис. 3 [7] приведены фрагменты спектров деления из  $(\gamma, f)$  и  $(d, f)$ -реакции с близкими энергиями возбуждения составных ядер. Из этих данных видно, что практически не заселяются фрагменты деления с  $A = 132$  в  $(\gamma, f)$ -реакции и примерно одинаково заселяются фрагменты деления с  $A = 134$ . Наиболее вероятно это связано с тем, что при энергии 22 МэВ значительным является вклад канала  $((\gamma, n), f)$ , т. е. деление при более низких энергиях возбуждения составного ядра.

Средние угловые моменты для  $(\gamma, f)$ -реакции также занижены по сравнению с  $(d, f)$ -реакцией. Для ядер  $^{117}\text{In}$  и  $^{135}\text{Xe}$  они равны  $\bar{J}=7,5$  и 4,5 в  $(\gamma, f)$ -реакции и 9,1 и 4,7 в  $(d, f)$ -реакции соответственно [9, 16].

Одной из возможных причин этого может быть то, что в  $(\gamma, n)$ -реакции вылетают нейтроны с большим моментом. Это приводит к обеднению высокоспиновых состояний в составном ядре, а соответственно, и к уменьшению средних угловых моментов в осколках деления.

Теоретические расчеты средних угловых моментов при энергии составного ядра около 20 МэВ дают величины  $\bar{J}$  от 6,0 до 7,0 для ядер In и меняются от 4,0 до 5,2 для ядер  $^{135}\text{Xe}$  при изменении  $\phi$  от 0,25 до 0,27, где  $\phi$  - функция, которая определяет часть энергии деления, переходящую в тепловую и кинетическую энергию относительного движения осколков в точке разрыва [14, 15].

Как видно, согласование достаточно хорошее. Оно даже лучше, чем в  $(d, f)$ -реакции для  $^{117}\text{In}$ , где  $\bar{J}_{\text{exp}} \sim 9,1$   $\bar{J}_{\text{teor}} \sim 7,3$ . Однако для понимания деталей механизма фотodelения необходимо продолжить изучение этого канала деления в зависимости от энергии  $\gamma$ -квантов и распространить этот метод на другие изомерные пары, в частности для периода полураспада  $< 5$  мин.

Рис. 3. Участки спектров  $\gamma$ -излучения  $^{232}\text{Th}$ , облученных deutронами и  $\gamma$ -квантами соответственно.

## СПИСОК ЛИТЕРАТУРЫ

1. Nix J.R., Swiatecki W.J. // Nucl. Phys. - 1965. - Vol. 71. - P. 1.
2. Ahmad I., Phillips W.R. // Rep. Prog. Phys. - 1995. - Vol. 58. - P. 1415.
3. Datta T., Dange S.P., Prakash S.K., Ramaniah M.V. // Z. Phys. A. - 1986. - Vol. 324. - P. 81.
4. The nuclear fission process / Ed. C. Wagermans. - Boca Raton, FL (United States): CRC Press, Inc., 1991. - P. 475.
5. Wilhelm J.B., Cheifetz E., Jared R.C. et al. // Phys. Rev. C. - 1972. - Vol. 5. - P. 2041.
6. Тер-Акопян Г.М., Оганесян Ю.Ц., Попеко Г.С. и др. // Изв. РАН. Сер. физ. - 1997. - Т. 61. - С. 185.
7. Вишиневский И.Н., Желтоножский В.А., Решитко С.В. // Изв. РАН. Сер. физ. - 1997. - Т. 61. - С. 102.
8. Ford G.P., Wolfsberg K., Erdal B.R. // Phys. Rev. C. - 1984. Vol. 30. - P. 195.
9. Table of Isotopes / Ed. M. Lederer. - N.Y.: J. Wiley and Sons, 1978.
10. Huizenga J.R., Vandebosch R. // Phys. Rev. - 1960. - Vol. 120. - P. 1305.
11. Vandebosch R., Huizenga J.R. // Phys. Rev. - 1960. - Vol. 120. - P. 1313.
12. Avrigeanu M., Ivascu M., Avrigeanu V. // Preprint N NP-63-1987, 1988, Rev. 1.
13. Brossa U., Grossman S., Muller A. // Phys. Rep. - 1990. - Vol. 197. - P. 169.
14. Tsang C.F. // Phys. Scripta. - 1974. - Vol. 10A. - P. 90.
15. Blocki J. et al. // Ann. Phys. - 1977. - Vol. 105. - P. 427.
16. Денисов В.Ю., Решитко С.В. // Ядерная физика. - 1996. - Т. 59. - С. 78.

ВИМІРЮВАННЯ ПРОДУКТІВ ФОТОПОДІЛУ  $^{232}\text{Th}$ 

**О. А. Безшикко, В. О. Желтонохський, І. М. Каденко, О. А. Левченко,  
І. Б. Михницький, Л. В. Садовников, М. В. Стрільчук**

Проведено вимірювання відносних виходів активностей фрагментів фотоподілу  $^{232}\text{Th}$  із граничною енергією 22 MeV. У результаті виконаних експериментів у спектрах надійно виявлено активності ізомерних пар  $^{117\text{m},\text{g}}\text{In}$ ,  $^{135\text{m},\text{g}}\text{Xe}$  та живлячих їх радіонуклідів. Ці дослідження вперше дозволили виміряти величини  $\sigma_m/\sigma_g$  для цих фрагментів, які виявилися рівними для  $^{117}\text{In}$   $\sigma_m/\sigma_g = 1,3 \pm 0,4$ ,  $^{135}\text{Xe}$   $\sigma_m/\sigma_g = 0,66 \pm 0,09$ . Визначено середні кутові моменти для  $^{117}\text{In}$  і  $^{135}\text{Xe}$ , рівні  $\bar{J} = 7,5$  і  $4,5$  відповідно.

MEASUREMENTS OF FOTOFISSION PRODUCTS OF  $^{232}\text{Th}$ 

**O. A. Bessheyko, V. A. Zheltonozhskiy, I. N. Kadenko, A. A. Levchenko,  
I. B. Mihnitzkiy, L. V. Sadovnikov, N. V. Strilchuk**

Our research group fulfilled measurements of relative output fragments activities of  $^{232}\text{Th}$  fotofission by  $\gamma$ -quanta with boundary energies 22 MeV. As the results of experiments, in spectra activities of isomeric pairs  $^{117\text{m},\text{g}}\text{In}$ ,  $^{135\text{m},\text{g}}\text{Xe}$  and feeding radionuclide were discovered. At first these researches allow to measure quantities of  $\sigma_m/\sigma_g$  for these fragments, which were founded equal for  $^{117}\text{In}$   $\sigma_m/\sigma_g = 1,3 \pm 0,4$  and for  $^{135}\text{Xe}$   $\sigma_m/\sigma_g = 0,66 \pm 0,09$ . We define quantities of medium angular moments for  $^{117}\text{In}$   $\bar{J}=7,5$  and for  $^{135}\text{Xe}$   $\bar{J}=4,5$ .

Поступила в редакцию 13.02.01